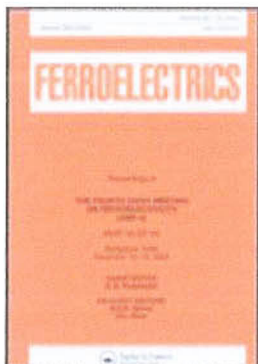


ภาคผนวก

This article was downloaded by: [Naresuan University], [Chompoonuch Puchmark]
 On: 28 June 2011, At: 07:20
 Publisher: Taylor & Francis
 Informa Ltd Registered in England and Wales Registered Number: 1072954 Registered
 office: Mortimer House, 37-41 Mortimer Street, London W1T 3JH, UK



Ferroelectrics

Publication details, including instructions for authors and subscription information:

<http://www.tandfonline.com/loi/gfer20>

Effect of MgO Nanoparticles on Properties of PZT Ceramics

Kachaporn Sanjoom ^a & Chompoonuch Puchmark ^a

^a Department of Physics, Faculty of Science, Naresuan University, Phitsanulok, 65000, Thailand

Available online: 27 Jun 2011

To cite this article: Kachaporn Sanjoom & Chompoonuch Puchmark (2011): Effect of MgO Nanoparticles on Properties of PZT Ceramics, *Ferroelectrics*, 416:1, 47-52

To link to this article: <http://dx.doi.org/10.1080/00150193.2011.577665>

PLEASE SCROLL DOWN FOR ARTICLE

Full terms and conditions of use: <http://www.tandfonline.com/page/terms-and-conditions>

This article may be used for research, teaching and private study purposes. Any substantial or systematic reproduction, re-distribution, re-selling, loan, sub-licensing, systematic supply or distribution in any form to anyone is expressly forbidden.

The publisher does not give any warranty express or implied or make any representation that the contents will be complete or accurate or up to date. The accuracy of any instructions, formulae and drug doses should be independently verified with primary sources. The publisher shall not be liable for any loss, actions, claims, proceedings, demand or costs or damages whatsoever or howsoever caused arising directly or indirectly in connection with or arising out of the use of this material.

Effect of MgO Nanoparticles on Properties of PZT Ceramics

KACHAPORN SANJOOM
 AND CHOMPOONUCH PUCHMARK*

Department of Physics, Faculty of Science, Naresuan University, Phitsanulok 65000, Thailand

In this research, the effect of MgO nanoparticles doping on electrical and mechanical properties of PZT ceramics were studied. PZT/MgO doped (0–2 vol%) ceramics were prepared by conventional mixed oxide method and sintered at 1200 °C for 2 h. Phase formation and microstructure were examined by X-ray diffraction technique (XRD) and scanning electron microscope (SEM). An impedance analyzer was also used to measure the dielectric constant (ϵ_r) at room temperature. The microhardness was determined using a Vickers indentation technique. The results found that the average grain size decrease with the addition of MgO nanoparticles. The dielectric constant and microhardness is only improved at 0.1 vol% MgO doping.

Keywords: MgO nanoparticles; Lead Zirconate Titanate; Dielectric constant; Vickers hardness

Introduction

Lead zirconate titanate (PZT) ceramics have been extensively studied during the last few decades since they are used for a variety of applications such as piezoelectric transducers, pyroelectric sensors, and high dielectric constant capacitors [1–4]. The maximum properties in both of dielectric and piezoelectric can be found with almost near $\text{Pb}(\text{Zr}_{0.52}\text{Ti}_{0.48})\text{O}_3$ composition which corresponding to the morphotropic rhombohedral-tetragonal phase transition [5]. $\text{Pb}(\text{Zr,Ti})\text{O}_3$ (PZT) nanocomposites were prepared from high purity PZT powder and small amount (0.1 ± 1.0 vol%) of oxides such as Al_2O_3 . Effects of the additives on mechanical and piezoelectric properties of the nanocomposites were investigated. The mechanical properties of ceramics can be significantly improved by introducing nanosized ceramic particles into the ceramic matrix grains or grain boundaries. The most significant achievements with this approach have been reported by Niihara and Nakahira [6–8]. In this work, effect of magnesium oxide nanoparticles on microstructure, density and dielectric constant (various frequencies at room temperature) of PZT ceramics were studied. At room temperature, the solid solution between lead titanate, PbTiO_3 (PT), and lead zirconate, PbZrO_3 (PZ), presents two ferroelectric phases, a tetragonal phase in the titanium rich side of the pseudobinary system, and a rhombohedral one in the zirconium rich side [9].

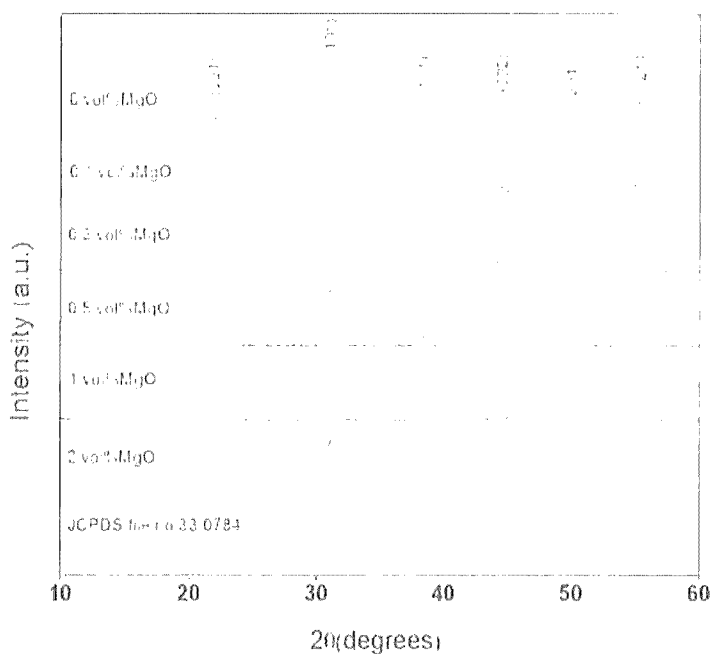


Figure 1. XRD patterns of PZT ceramics with 0–2 vol% MgO nanoparticles sintered at 1200°C.

Experimental

PZT/MgO nanoparticles ceramics in this research were prepared by mixed oxide method. The starting materials of PbO (99.0%, Riedel de Haen), ZrO₂ (99.0%, Riedel de Haen) and TiO₂ (99.0%, Riedel de Haen) were mixed in ethanol medium for 24 h and calcined at 800°C for 2 h. The MgO nanopowders (Aldrich USA, 50 nm) was blended with the calcined PZT powder in ratios of between 0–2 vol%. PZT/MgO mixture was ball milled for 12 h. Then, the slurry was dried, sieved and pressed into pellets. The sintering procedure was carried out at 1200°C for 2 h. Phases formation and microstructure were examined by X-ray diffractometer (XRD) and Scanning electron microscope (SEM). Average grain size was measurement by linear interception method. An impedance analyzer was also used to measure the dielectric constant (ϵ_r) at room temperature. Vickers microhardness of samples was investigated by Vickers microhardness tester.

Results and Discussion

The X-ray diffraction patterns of sintered PZT ceramics with the addition range of 0–2 vol% MgO nanoparticles were shown in Fig. 1. All the patterns correlated to JCPDS file number 33-0784 represented the tetragonal structure [10]. Lattice parameter were calculated by X-ray program to be $a = 4.036 \text{ \AA}$, $b = 4.036 \text{ \AA}$ and $c = 4.146 \text{ \AA}$. The maximum intensity of peak was $2\theta \sim 30.9^\circ$. No trace of MgO nanoparticles phase was detected. The amount of MgO in the samples may have been too small to be detected by XRD.

Figure 2 showed SEM micrograph of surface and fracture of PZT ceramics with 0, 0.1, 0.3 and 2 vol% MgO nanoparticles. Intergranular fracture was found for PZT sample (Fig. 2 (b)). The fracture mode changed to intergranular with partial intragranular fracture

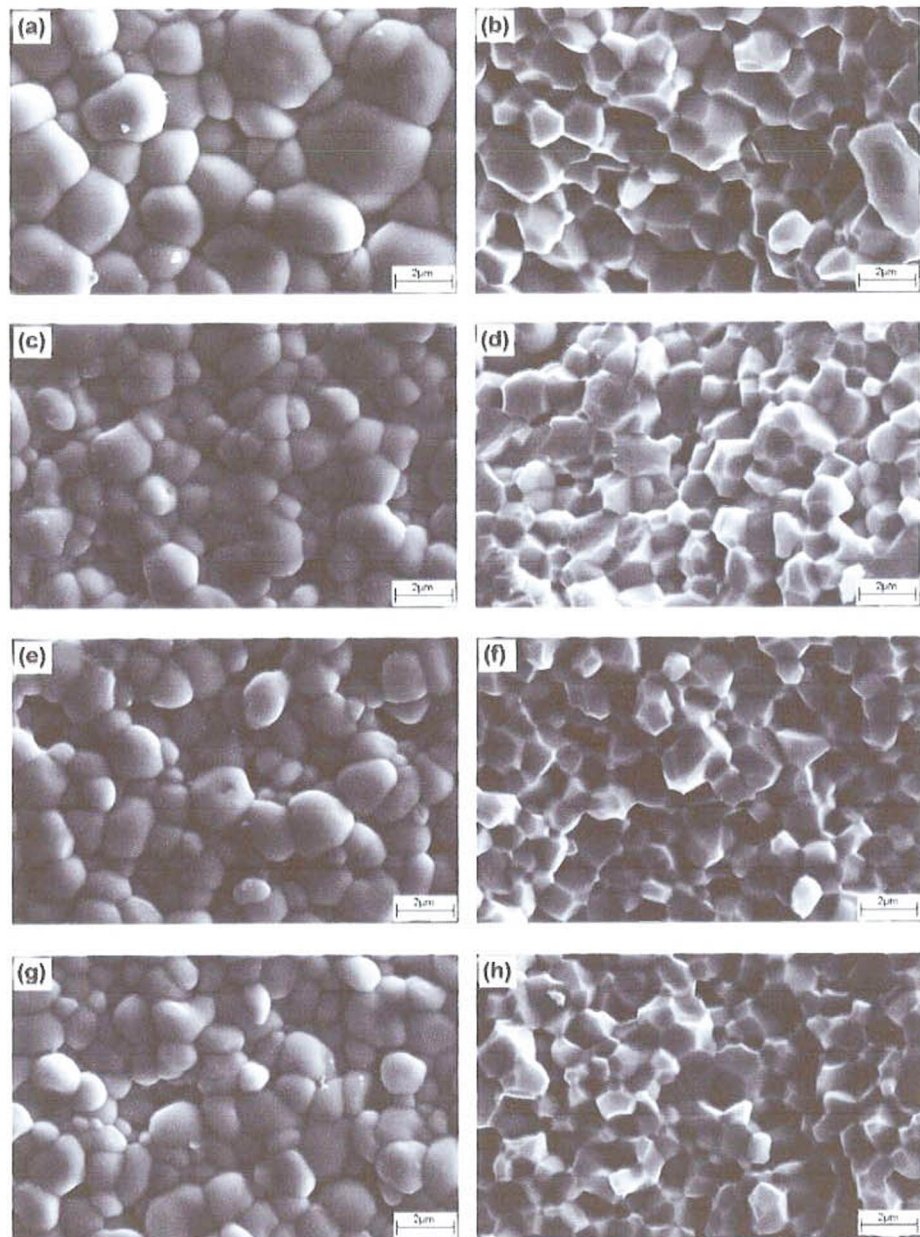


Figure 2. SEM photographs of surface and fracture of PZT ceramics with: (a, b) 0, (c, d) 0.1, (e, f) 0.3 and (g, h) 2 vol% MgO nanoparticles.

for the sample with 0.1 vol% MgO addition (Fig. 2 (d)), indicating that the MgO particles reinforced the PZT grain boundaries [11]. However, the fracture mode became to mainly intergranular for the samples with 0.3–2 vol% MgO (Fig. 2 (f, h)). The average grain sizes of the samples were found to decrease with the addition of MgO nanoparticles, indicating

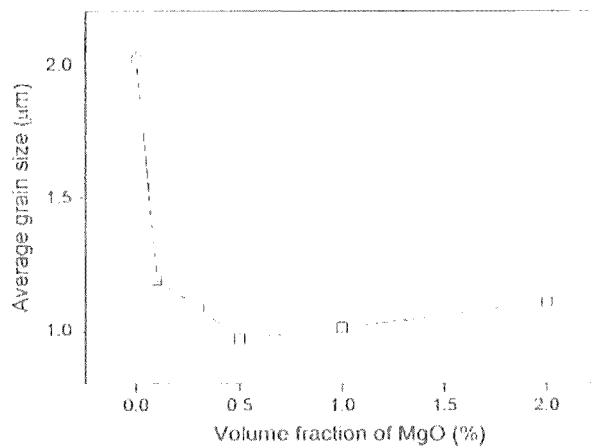


Figure 3. Average grain size of PZT ceramics as a function of MgO addition.

that the MgO nanoparticles inhibited grain growth (Fig. 2 (a, c, e and g)). The range of selected MgO doping, the grain size ($1\ \mu\text{m}$) is almost the same as shown in Fig. 3. However, MgO is not effective in changing the morphology of grain. Those grains exhibited equiax shape in all doping conditions.

Figure 4 showed the volume fraction of the relative dielectric constant for PZT doped MgO with the different frequencies. As shown, PZT ceramic with 0.1 vol% of MgO doping can reach the dielectric constant at the maximum value for all frequencies (1, 10, 100, 500 kHz and 1 MHz, at room temperature). Moreover, the dielectric constant is slightly decreased with increasing MgO content to more than 0.1 vol%.

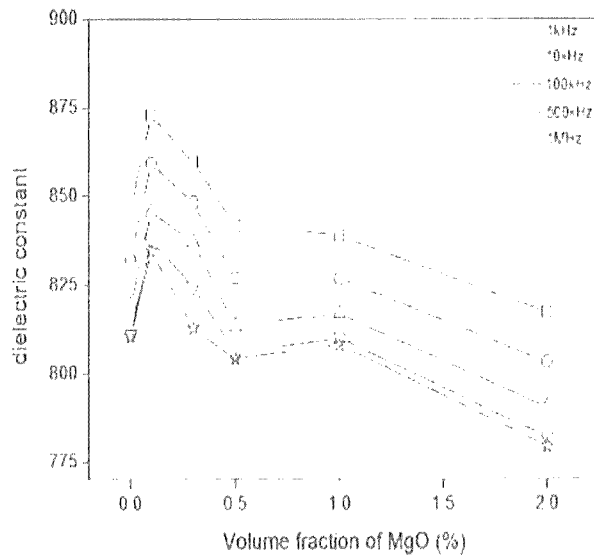


Figure 4. Dielectric constant of PZT ceramics as a function of MgO addition.

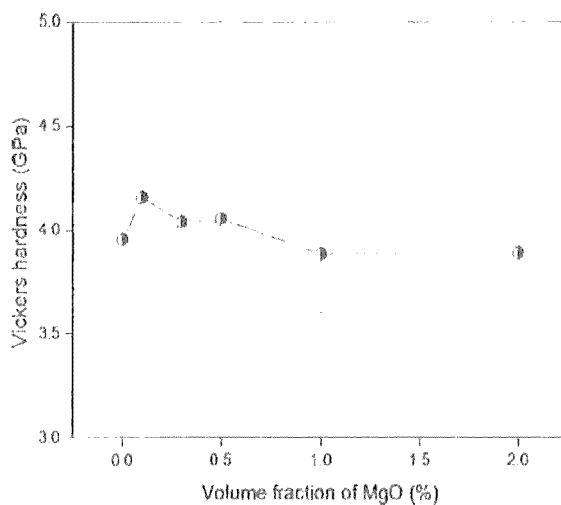


Figure 5. Vickers hardness of PZT ceramics as a function of MgO addition.

The results of Vickers microhardness are shown in Fig. 5. The maximum value of microhardness of 4.2 GPa was found for sample containing 0.1 vol% MgO. The value is close to the reported by Tajima et al [12]. The improved hardness is proposed to be due to MgO reinforcing the grain boundaries (Fig. 2 (d)). The slight decrease in microhardness on moving from 0.1 to 2 vol% may be due to the lower sinterability of the PZT for 0.3–2 vol% MgO [11].

Conclusions

In conclusion, PZT ceramics with the addition of MgO nanoparticles were fabricated by mixed oxide route with the sintering temperature at 1200°C for 2 h. The crystal structure is tetragonal with no secondary phase detected. Dielectric constant and microhardness is only improved at 0.1 vol% MgO doping. The average grain sizes of the samples were found to decrease with the addition of MgO nanoparticles. However MgO is not effective in changing the morphology of grain.

Acknowledgments

This work financially supported by The Thailand Research Fund (TRF), Commission on Higher Education (CHE) and Faculty of Science Naresuan University. The authors would like to thank Prof. Dr. Tawee Tunkasiri and Prof. Dr. Gobwute Rulijahangul for their help in many facilities.

References

1. C. T. Lin, B. W. Scantle, J. D. McNeill, J. S. Webb, L. Li, R. A. Lipets, P. M. Adams, and M. S. Leung, *J. Mater. Res.*, **7**, 2346 (1992).
2. G. H. Haertling, *J. Am. Ceram. Soc.*, **82**, 797 (1999).
3. Q. Fan, Z. Xu, and D. Viehland, *J. Mater. Res.*, **14**, 465 (1999).

4. R. L. Newham and G. R. Ruschau, *Am. Ceram. Soc. Bull.*, **75**, 51 (1996).
5. B. Jaffe, W. R. Cook, and H. Jaffe, *Piezoelectric Ceramics*, Academic Press, London, (1971) pp. 135–136.
6. R. Morena, K. Nuhara, and D. P. H. Hasselman, *J. Am. Ceram. Soc.*, **66**, 673 (1983).
7. A. Okada, H. Kawamoto, and H. Usami, *Ceramic Engineering & Science Proceedings*, **18**, 183 (1997).
8. K. Nuhara, R. Morena, and D. P. H. Hasselman, *J. Mater. Sci. Lett.*, **1**, 13 (1982).
9. M. R. Soares, A. M. R. Senos, and P. Q. Mantas, *J. Eur. Ceram. Soc.*, **20**, 321 (2000).
10. Powder Diffraction File, Card No. 33-0784, Joint Committee on Powder Diffraction Standards (JCPDS) PDF-4, International Centre for Diffraction Data (ICDD) (2000).
11. C. Puchmark, G. Rujjanagul, S. Juansirisomboon, T. Jintkasiri, N. Vittayakorn, T. Comyn, and A. J. Milne, *Curr. Appl. Phys.*, **6**, 423 (2006).
12. K. Tapma, H. Hwang, M. Sando, and K. Nuhara, *J. Am. Ceram. Soc.*, **83**, 651 (2000).



บันทึกข้อความ

ส่วนราชการ มหาวิทยาลัยนนทบุรี คณบดีมหาศาสดร์ รายงานนโยบายและแผน ให้กับ ๗๖๗๗๗

ที่ ๘๙/๑๒๑๐๔๑๐๖(๓)/๔๕ วันที่ ๑๓ พฤษภาคม ๒๕๖๕

เรื่อง ผลการพัฒนาหลักสูตรปัจจุบัน

ผู้ลงนาม ผู้อำนวยการสถาบันฯ ดร.อธิสา พลวัฒน์ พิมพา

ตามที่ ท่านได้ให้ความสนใจส่องประดับงานในของ
ห้องโถงนี้เป็นอย่างมาก ด้วยความเชิงแบบวิกเกอร์ และสมบัติให้กับเด็กที่วิทยาลัยฯ
PTE เพื่อที่พัฒนาในวงการวิทยาศาสตร์ ความพร้อมแล้วนั้น กองบรรณาธิการสารวิทยาศาสตร์ได้
ดำเนินการส่งให้ผู้ทรงคุณวุฒิพิจารณาเป็นที่เรียบร้อยแล้ว โดยที่สำคัญที่ขาดไม่ได้
คือห้องนี้ได้ดำเนินการแก้ไขเป็นที่เรียบร้อยแล้วให้สอดคล้องกับมาตรฐานคุณวุฒิทางวิทยาศาสตร์ซึ่งหนึ่งในสิ่งที่ดำเนินการ
ที่พัฒนาในวงการวิทยาศาสตร์ ปีที่ ๘ ที่กับที่ ๑ (ภาษาไทย ๒๕๖๕ - กันยายน ๒๕๖๕) ต่อไป

จึงเรียนมาเพื่อโปรดพิจารณาอนุมัติ

(ผู้อำนวยการสถาบันฯ ดร.อธิสา พลวัฒน์)
รองคณบดีฝ่ายบริหาร ปฏิบัติราชการแทน
คณบดีคณะวิทยาศาสตร์

NU Science Journal 2011; X(x): xx - xx

ผลของการทดสอบน้ำหนักตัวแบบที่มีน้ำหนักตัวต่ำกว่า 0.005% ของน้ำหนักตัวที่ต้องการ ทำให้เกิดความแม่นยำสูงสุดในช่วง 0.005% ถึง 0.01% ของน้ำหนักตัว

Effect of zirconium oxide nanoparticles on microstructure, Vickers hardness and dielectric properties of PZT ceramics

Kachaporn Sanjoom and Chompeoomch Puchmark

ตามที่ต้องการได้ ตาม วิทยาศาสตร์ ที่ต้องการได้มากที่สุดเท่าที่จะทำได้ จำนวน วิทยาลัย 65000

Corresponding author. E-mail: fangmic2002@yahoo.com

Unidad

ជាក់ក្នុងបណ្តុះបណ្តាលសម្រាប់ប្រើប្រាស់និងប្រើប្រាស់ដែលមានអាជីវកម្ម។

กานหนึ่งอุบหนึ่งหน้ารี ลูกน้ำตี ใจดีเดือนรัก

Abstract

In this research, the effect of zirconium oxide (ZrO_2) nanoparticles on microstructure, Vickers hardness and dielectric properties of lead zirconate titanate ($PbZr_{0.25}Ti_{0.75}O_3$; PZT) ceramics were investigated. The optimum calcination temperature of PZT powder was found at $800\text{ }^\circ\text{C}$ for 2 h with X-ray diffraction technique. The ZrO_2 nanoparticles were blended with the calcined PZT powder in ratios of between 0 and 2 vol% and sinter at $1200\text{ }^\circ\text{C}$ for 2 h. Microstructure was examined by Scanning Electron Microscope (SEM). Vickers hardness was determined using a Vicker's indentation technique. The dielectric properties were verified by LCR meter at 1 kHz. It was found that, the addition of ZrO_2 nanoparticles could significantly reduce the average grain size of PZT ceramics. The Vickers hardness of the composites tended to improve with the addition of the ZrO_2 nanoparticles but the dielectric constant and dielectric loss tend to decreased.

Keywords: ZnO nanoparticles, PZT ceramics, Vickers hardness, dielectric properties

三

ผลิตของร้าวเสียงในแกนหัว (PZT) เป็นวัสดุที่มีหน้าที่กระตุ้นสั่นสะเทือน หรือตรวจจับสั่นสะเทือน ได้โดยการใช้เครื่องจักรดึงดูด (actuators) เครื่องจักรดึงดูดที่มีค่าความต้านทาน (resonators) เครื่องจักรตรวจจับ (sensors) ในใบปลิว (microphone) บวกกับตัวเก็บประจุ (capacitors) ที่เป็นลักษณะของ PZT ที่สามารถใช้ประโยชน์ได้ดีที่สุด ที่ได้ร่วงลงอยู่บนพื้นห้องทดลองไพรอฟสไกท์ (perovskite) ที่เป็นสารที่มีค่าทางเคมีเดียวกันกับ ไบโอติท (PbZrO₃) บล็อกทางเคมีที่เป็นผลลัพธ์ของการเปลี่ยนผ่านเชิงเส้น (multiferroelectric) ซึ่งเป็นโครงสร้างที่ไม่เป็นแบบบล็อกห้องเรือนบิท (orthorhombic) กับโครงสร้างหินแกน (PbTiO₃) ซึ่งแสดงถึงความเป็นเหลว; ไบโอดิ (tetragonal) ซึ่งเป็นทางลักษณะที่ไม่เป็นแบบบล็อกห้องเรือนไโลโนดิ (lorenzite) ที่มีผลลัพธ์ทางเคมีที่เป็นเหลวและสามารถเปลี่ยนไปสู่อีกสองทาง Zr/Ti อยู่ที่ 52.48 บริจ 53.47° ซึ่งอยู่บนเส้นที่เรียกว่าร่องรอยของสารที่มีลักษณะทางเคมีที่บันทึก (morphotropic phase boundaries: MPB) (Han *et al.*, 2000) แต่ PZT ให้ค่าลักษณะสัมภาระไฟฟ้าเชิงเส้นที่ดี (piezoelectric coefficient; d_33) มากกว่าอุปกรณ์อื่นๆ ลักษณะที่มีค่าลักษณะสัมภาระไฟฟ้าเชิงเส้นที่ดี (relative permittivity or dielectric constant; ϵ_r) ที่สูง บัญชากฎที่อยู่ที่ 390 °C ทำให้สามารถใช้งานได้ดีที่สุด (Moulson and Herbert, 2003; Haertling, 1999) แต่หากเม็ดหินใหญ่ บันทึกที่ต่ำกว่าที่เป็น PZT หลักของหัวหินต้องลดลงมากกว่าปกติ แต่หากเม็ดหินน้ำตกน้ำ หัวหินต้องกลับไปใช้งานอุดมสุขตามที่ต้องการ

ตัวเม็ดในรูปนี้คือเม็ดหินขาวที่เป็นลักษณะเดียวกับหิน PZT ที่มีอัตราการใช้แรงตึงหักที่สูงที่สุด

(Tajima *et al.*, 1999) ในปริมาณส่วนตัว คือ โลหะที่มีปริมาณพื้นฐานค่าก่อความเสื่อมสูงขึ้น ขณะที่ค่าก่อความเสื่อมของสารอื่นๆ ไม่เปลี่ยนแปลงมากนัก และ จังหวัดที่ทางด้านสุขภาพดีอยู่เป็นประจำอย่างไร้เดียงสา ได้อธิบายไว้ในหนังสือชื่อ “The Healthiest Places in America” (Buchanan, 1986) ซึ่งเป็นเว็บไซต์ที่นำเสนอรายชื่อเมืองที่มีค่าทางด้านสุขภาพดีที่สุดในประเทศอเมริกา จึงทำให้เกิดความเชื่อว่า ภูมิศาสตร์ที่ดีมีผลต่อสุขภาพดีของมนุษย์

ຮອບນິຍມ ອົບທຳການວິຊາ

$$H_v = (1854.4) \frac{P}{d} \quad (1)$$

(ที่ ๑) H_c คือ ค่าความต้านทานของแม่เหล็กอิเล็กตริก (GPa)

P ភេទប្រាសលិនីខ្លួនកំពង់គោល (N)

ค. คือ ค่าความเรียบลื่นของผิวน้ำยาที่ต้องการ (um)

2

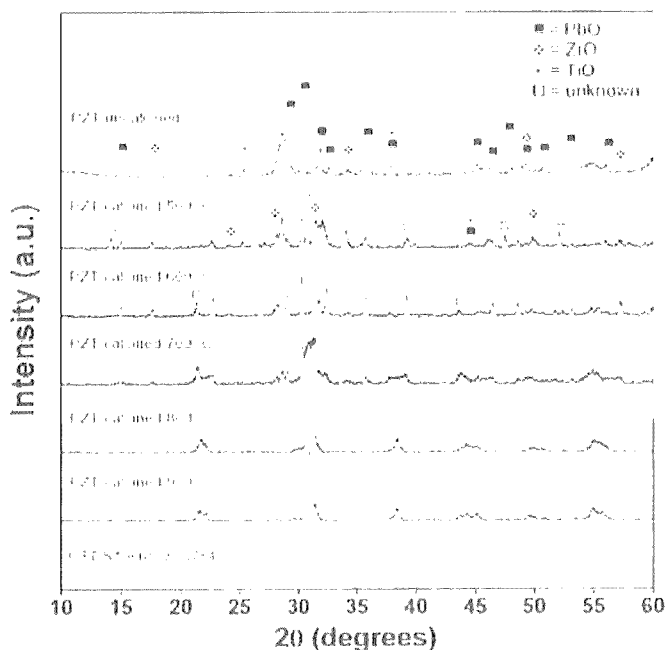
$$\varepsilon_i = -\frac{eC}{S_A} \quad (2)$$

ໃຫຍ່ ຂະ ເມືນກໍາເລີກນໍາໄຫວ້ຕັດກົງເງິນອອຈູ້ນັກ

๘. ถ้าบันค่าคงที่ไอลอเรนท์ที่รักของสูญเสียแก่เส้นที่ลากไปตาม 8.854×10^{12} F/mm

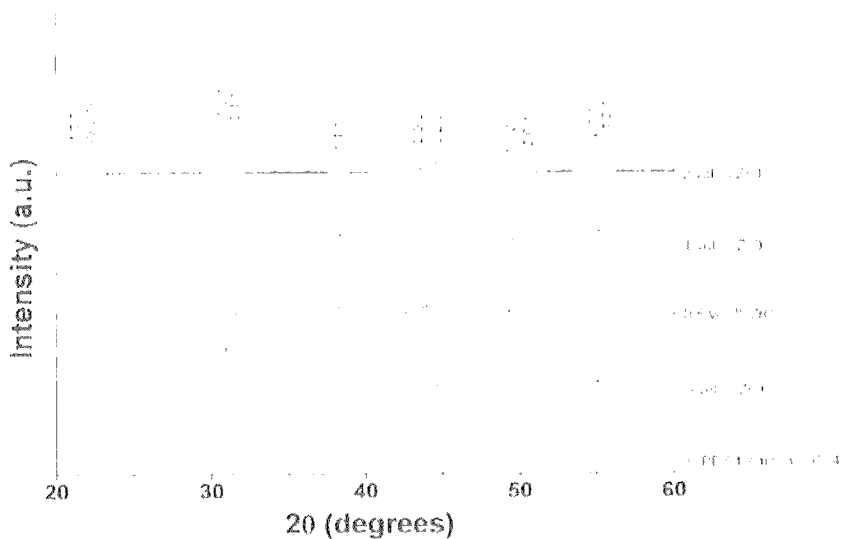
C เป็นลักษณะของไฟฟ้า เช่น ความต้านทานของชั้นเส้นนำ แต่ A เป็นที่ที่มีอิเล็กตรอนซึ่งเคลื่อนที่

မြန်မာဘာရေးဝန်ကြီးဌာနပါတီ



รูป 1 รูปแบบการเคลื่อนย้ายของรั้งที่อึดอัดซึ่งมี PZT ที่ล้อมไว้ในภาชนะโลหะและมี PZT ที่ติด
แน่นกับชิ้นส่วนที่อุดตันที่ 500 - 900 °C นาน 2 ชั่วโมง

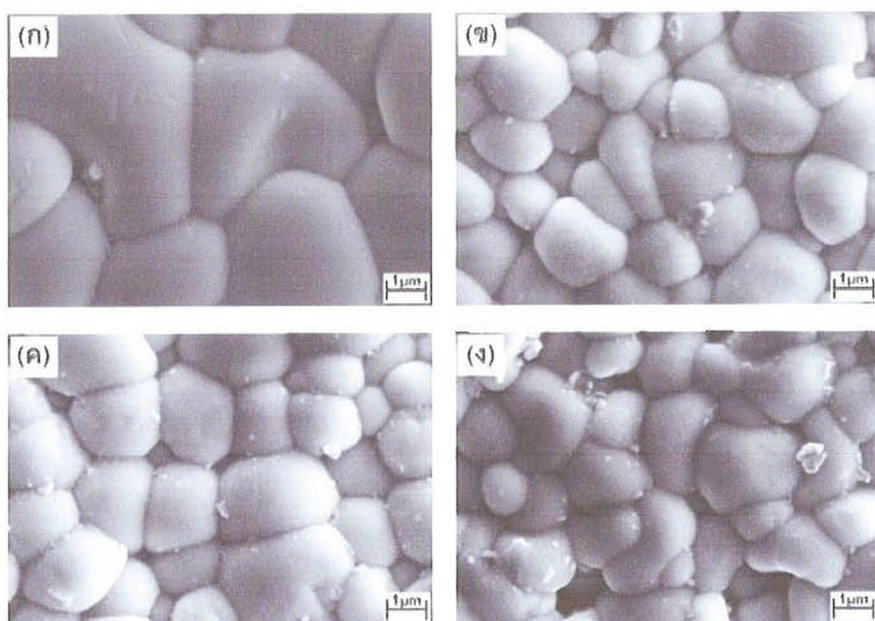
จากภาพ 1 ที่ได้รับเมื่อเทียบกับรูปแบบที่เดียวที่ทางวิศวกรรม PZT ที่ต้องการผลิต
ให้ได้ ผลผลิต PZT ที่ทำขึ้นอยู่ที่ อุณหภูมิ 500 - 900 °C หาก 2 ชั่วโมง จะเห็น ให้ผลผลิต PZT ที่
เหมาะสมที่สุด แต่ อุณหภูมิ 800 °C หรือ 900 °C ที่รู้สึกว่าดีกว่า บนขอเร็วสีเด็กที่สอดคล้องกับรูปขั้นตอน
ผลิตของ PZT ในฐานข้อมูล 33-0784 (Powder Diffraction File, 2000) สำหรับสีเด็กที่ต้องการใช้
อุณหภูมิสักเท่าไร 800 °C นี่ ก็เป็นอันดับต้นๆของ PZT แล้ว ไม่สามารถแปลงเปลี่ยน แต่
ถ้าลดอุณหภูมิลง เหลือ 400 °C ลักษณะจะเปลี่ยนไปเป็นสีฟ้า สาไปในกระบวนการผลิต ใหม่ที่ อุณหภูมิ 800 °C



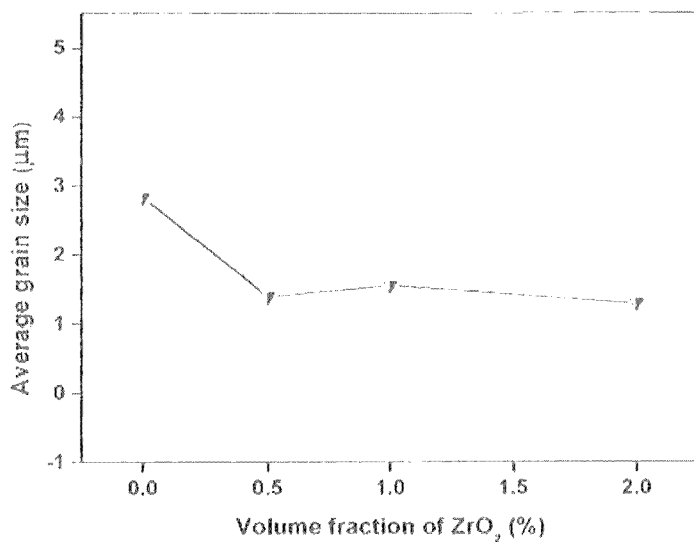
รูป 2 รูปแบบการเติมวัสดุต่างๆ ที่ได้รับมาจากการเติม ZnO ใน PZT : (0-2) vol.% ZnO_x สามารถดูดซึมน้ำได้ดีที่สุดที่ 1200 °C สำหรับ 2 ชั่วโมง

ตารางที่ 2 จะเห็นว่ารูปแบบการเดาขั้นตอนของตัวเรืองฟื้นฟูของหัวหิน PZT ที่มีหัวหินเพิ่มเติมอยู่ 10% ในรูปเดียวกันใน ZrO_3 และหัวหินเพิ่มเติมอยู่ในปริมาณ 0.5, 1 และ 2 vol.% ให้รูปแบบเดียวหัวหิน ซึ่งผลสอดคล้องกับรูปแบบเดิมของ PZT ในรูปแบบคุณภาพเดียวกัน (Powder Diffraction File, 2000) และรูปแบบที่แสดงของ ZrO_3 ที่หัวหินเพิ่มเติมอยู่ในปริมาณของสารตัวเรือง ZrO_3 ที่หัวหินเพิ่มเติมอยู่ในรูปแบบ XRD ดังที่ระบุด้วยสัญลักษณ์ \square ซึ่งเดียวกันกับหัวหิน PZT ที่มีผลการเดาคร่าวๆ ที่ต่างกันอย่างมาก สำหรับหัวหินเพิ่มเติมของหัวหิน PZT ที่มีหัวหินเพิ่มเติมอยู่ในปริมาณ 0-2 vol.% ZrO_3 ที่ไม่เดาซึ่งแสดงว่าไม่มีรูปแบบเดียวกัน แต่จะพบว่าหัวหินเพิ่มเติมอยู่ในปริมาณ 3 vol.% ให้รูปแบบเดียวกันใน SEM บริเวณหัวหินนี้ เท่ากับหัวหิน PZT - (0-2) vol.% ZrO_3 โดยขนาดของหัวหินเพิ่มเติมอยู่ในปริมาณ 3 ไมครอนเป็นอย่างมาก แต่หัวหินที่หัวหินนี้ เท่ากับหัวหิน PZT - (0-2) vol.% ZrO_3 โดยขนาดของหัวหินเพิ่มเติมอยู่ในปริมาณ 1.5 ไมครอน ซึ่งตรงกับความต้องการหัวหินที่จะใช้ร่วมกับหัวหิน

ของกรณ์คือก้อนปริมาณสารเจือ ZrO_2 ที่เติมลงในเซรามิก PZT ในรูป 4 ซึ่งได้รับสารเจือในระดับนาโนของ ZrO_2 นั้น ไปทำการขันขึ้นหรือขัดขวางการเติบโตของกรณ์ของในเซรามิก PZT นั้นเอง ผลคือถ้าก้อนผลิตงานวิจัยของกลุ่ม Tajima และกลุ่มของ Puchmark (Tajima *et al.*, 2000; Puchmark *et al.*, 2006) ซึ่งทั้งสองกลุ่มได้ศึกษาการเติบโตของสารเจือในระดับนาโนของ Al_2O_3 ลงในเซรามิก PZT แล้วทั้ง 2 ให้ขนาดของกรณ์เล็กลงของเซรามิก PZT มีการลดลงเช่นกัน

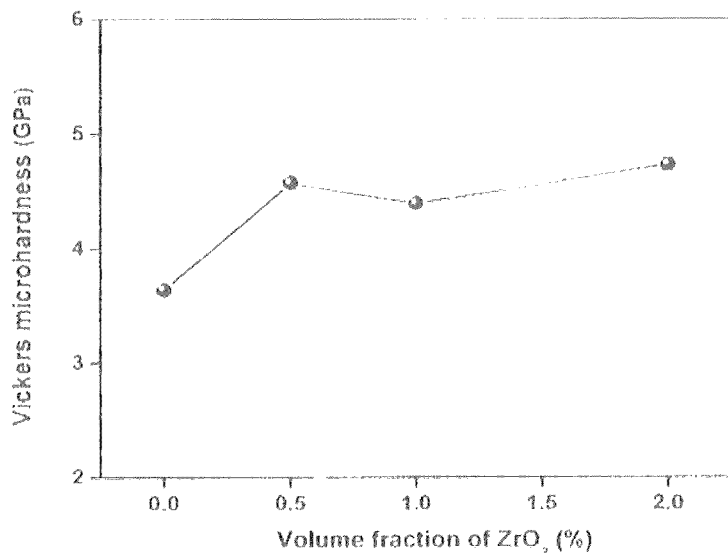


รูป 3 ภาพถ่ายจากกล้องจุลทรรศน์อิเล็กตรอนแบบส่องจราดที่บีบิวน้ำหน้าของเซรามิก PZT ที่เติมสารเจือในระดับนาโนใน ZrO_2 ในปริมาณต่างๆ กับ เตาเผาเตอร์ที่อุณหภูมิ $1200^{\circ}C$ เป็นเวลา 2 ชั่วโมง: (a) PZT ไม่เติมสารเจือ, (b) PZT-0.5 vol.% ZrO_2 , (c) PZT+1 vol.% ZrO_2 และ (d) PZT+2 vol.% ZrO_2



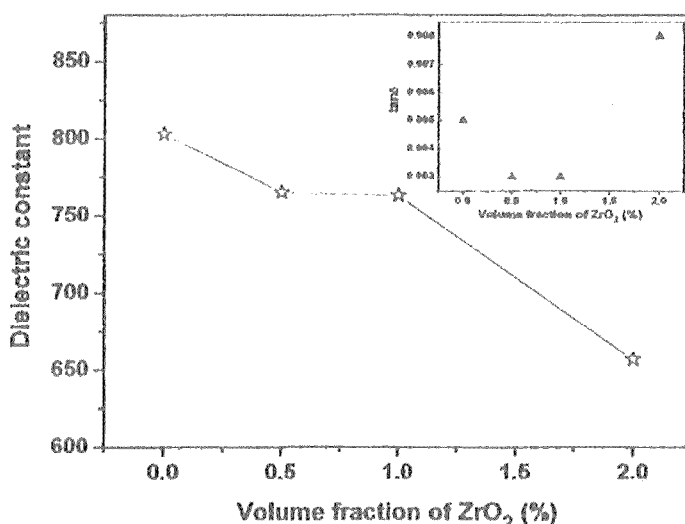
រូប 4 ការបោគរាយដីសម្រាប់អំពុល PZT – (0-2) vol.% ZrO_3 បានចិត្តភទទាំងពីរក្នុងរឿង 1200 °C និងវាតា
ក្នុងរឿង

เมื่อันนี้เจริญก็ PZT ที่เพิ่มสารตัวคั่นนาโนโซ่อัลตร้าฟิวชัน ZrO_3 ในปริมาณต่ำๆ กับนาโนแล้ว
เพิ่มหน่วยริกเกอร์ หน่วยต่ำกว่าหน่วยเดียวของเจริญก็ PZT ที่หักเหไปมากที่สุดน้ำหนักปริมาณสารตัวคั่น ZrO_3
ต่ำๆ อยู่ 5% ที่เป็นตัวชั้นที่น้ำหนักมากจากสารตัวคั่น ZrO_3 ถือสาเหตุความเสียหายที่ดี ที่ก่อให้เกิดข้อติดขัดของโครงสร้างเดลล์ค์
พน ว่า เช่น เหล็กของตัวเรือนเดลล์ค์ติดต่อกันในจุดเดียว แต่เดียว ไม่สามารถยืดหักได้ จนกระทั่ง
เจริญก็ได้ทดสอบส่วนตัวให้เข้าใจว่า ภัยของตัวเรือนเดลล์ค์ ถูกขับบาก จนกระทั่งตัวเรือนเดลล์ค์ติดขัดกับตัวเรือนเดลล์ค์
เมื่อตัวเรือนเดลล์ค์ติดกันแล้ว ตัวเรือนเดลล์ค์จะหักตัวเรือนเดลล์ค์ติดกันที่จุดติดขัด ทำให้ตัวเรือนเดลล์ค์หักตัวเรือนเดลล์ค์
ในคราวที่หักตัวเรือนเดลล์ค์ติดกันแล้ว ตัวเรือนเดลล์ค์หักตัวเรือนเดลล์ค์ติดกันแล้ว ตัวเรือนเดลล์ค์หักตัวเรือนเดลล์ค์



រូប ៥ ការរំលែកក្នុងការបន្ទិទ្យលេខាដំឡើង PZT - (0-2) vol% ZrO_3 មានចំណាំថាអាមេរិក 1200 °C
ពីរយោគ 2 ខែ និង

วัสดุสมบัติได้ผลลัพธ์ที่ดีกว่าที่ได้จากการหัวใจ PZT ที่เคลือบสารเชื่อม ZrO_2 บนปริมาณต่ำๆ กัน ที่ความถี่ 1 kHz ด้วยการหัวใจที่ดีขึ้น หลังจากคำนวณพบว่าในโครงสร้างที่ได้อธิบายไว้ก็ ต้องสูญเสีย (2) ผลลัพธ์การสูญเสียความร้อนที่ดีของร่องรอยจากการหัวใจในคราวเดียวถ้าัน นำรากที่ยืนยาวไปทางทิศใต้เพิ่มสารเชื่อม ZrO_2 ลงในโครงสร้างที่มีอัตรา 0.5 บล็อก / 1 vol.% ทำให้ต่ำกว่าที่ได้อธิบายไว้ก็ ของรากที่หัวใจ PZT ลดลงประมาณ 4.7% และต่ำกว่าการสูญเสียความร้อนที่ดีของร่องรอยจากการหัวใจที่รักษาความร้อนอย่างมากถึง 40% ถ้าอัตราของรากที่หัวใจในเดือนสารเชื่อม ยกเว้นปริมาณเศษสารเชื่อม ZrO_2 ในหัวใจ PZT ที่เพิ่มขึ้นเป็น 2 vol.% ลักษณะที่ได้อธิบายไว้ก็ได้ลดลงไปมาก ค่าการสูญเสียความร้อนที่ดีของรากที่หัวใจ ก็กลับเพิ่มมาก



รูป 6 ค่าคงที่ไคลอเล็กทริก และค่าการสูญเสียความร้อนเมื่อองศาค่าไถอเล็กทริกของเซรามิก PZT ที่เติมสารเจือในปริมาณต่างๆ เม็ดสินค่าร์ที่อุณหภูมิ 1200°C เป็นเวลา 2 ชั่วโมง

สรุปผลการทดลอง

จากผลของการเติมสารเจือในระดับนาโนของ ZrO_2 ลงในเซรามิก PZT นี้ จะพบว่าเมื่อเติมสารเจือ ZrO_2 ในปริมาณน้อยๆ เช่น 0.5 ถึง 1 vol.% ทำให้โครงสร้างชุดลักษณะของเซรามิก PZT เปลี่ยนแปลงขนาดของกรานให้เล็กลง และเพิ่มค่าความแข็ง ได้ตื้นขึ้น ขณะเดียวกันค่าการสูญเสียความร้อนทางไคลอเล็กทริกก็ลดลง ถึงแม้ว่าค่าคงที่ไคลอเล็กทริกจะลดลงแต่ลดลงไม่เกิน 5% แต่เมื่อเพิ่มปริมาณสารเจือเป็น 2 vol.% จะทำให้เซรามิก PZT มีค่าความแข็งเพิ่มขึ้นอีกเล็กน้อย แต่ค่าคงที่ไคลอเล็กทริกลดลงมาก สำหรับการสูญเสียความร้อนทางไคลอเล็กทริกกลับเพิ่มขึ้น ดังนั้นปริมาณสารเจือในระดับนาโนของ ZrO_2 ที่เหมาะสมสำหรับเซรามิก PZT นี้ จึงไม่เกิน 1 vol.%

กติกาธรรมประภาค

งานวิจัยนี้ได้รับทุนอุดหนุนการวิจัยจากมหาวิทยาลัยนเรศวร งานประจำแยกผ่านศิบะ ปีงบประมาณ พ.ศ. 2554 ได้รับความสำคัญในการใช้เครื่องมือทดสอบ ณ ภาควิชาฟิสิกส์ คณะวิทยาศาสตร์ มหาวิทยาลัยนเรศวร และผู้วิจัยขอกราบขอบพระคุณศาสตราจารย์เกียรติคุณ ดร. ทวี ดันชัยศรี และศาสตราจารย์ ดร. กอบกุล รุจิธนาฤทธิ์ ที่อุ่นใจความสำคัญในการใช้เครื่องมือวัด ในห้องปฏิบัติการอิเล็กโทรเซรามิก ภาควิชาฟิสิกส์และวัสดุศาสตร์ คณะวิทยาศาสตร์ มหาวิทยาลัยเชียงใหม่

ຕອກຫາວ່າງອິດ

- Chandatreya, S.S., Fulath, R.M. and Pask, J.A. (1981). Reaction mechanisms in the formation of PZT solid solution. *Journal of the American Ceramic Society*, 64, 422-425.
- Haertling, G.H. (1999). Ferroelectric ceramics: history and technology. *J. Am. Ceram. Soc.*, 82, 797-818.
- Han, K.R., Koo, H.J., Hong, M.J. and Lim, C.S. (2000). Simple synthesis of submicrometer lead titanate powder by precipitation of TiO_2 precursor on PbO particulates. *J. Am. Ceram. Soc.*, 83, 971-973.
- Instructure Manual, Microhardness Tester MXT- Ø3, MXT- Ø7, MXT- Ø3e, MXT- Ø7e, Matsuzawa Seiki Co.,LTD.
- Meyers, M.A. and Chawla, K.K. (1999). *Mechanical Behaviors of Materials*. Prentice-Hall International, Inc.
- Moulson, A.J. and Herbert, J.M. (2003). *Electroceramics: Material, Properties and Applications*, (2nd ed.), Chapman & Hall, London.
- Powder Diffraction File, Card No. 33-0784, Joint Committee for Powder Diffraction Standard; (JCPDS) PDF-4, (2000), International Centre for Diffraction Data (ICDD).
- Puchmark, C., Rujjanagul, G., Jiansirisomboon, S., Tunkasiri, T., Vittayakorn, N., Comyn, T. and Milne, S.J. (2006). Mechanical property evaluation of PZT Al_2O_3 composites prepared by a simple solid-state mixed oxide method. *Current Applied Physics*, 6, 323-326.
- Tajima, K., Hwang, H.J., Sando, M. and Niihara, K. (1999). PZT Nanocomposites reinforced by small amount of oxides. *J. Eur. Ceram. Soc.*, 19, 1179-1182.
- Tajima, K., Hwang, H.J., Sando, M. and Niihara, K. (2000). Electric-Field-Induced Crack Growth Behavior in PZT/ Al_2O_3 Composites. *J. Am. Ceram. Soc.*, 83, 651-653.

Poster Presentation

Effect of ZrO_2 Nanoparticles on Dielectric Loss of PZT Ceramics

K. Sanjoem, W. Chomchai, C. Puehmak*

Department of Physics, Faculty of Science, Naresuan University, Phitsanulok, 65000, Thailand

*Corresponding author, e-mail: kungnic2002@yahoo.com

Abstract

Lead zirconate titanate (PZT) ceramics are known as some of the most useful piezoelectric materials [1-2]. Their properties are strongly influenced by the density and microstructure, which in turn depend on the synthesis procedure [3]. Dielectric and piezoelectric maximum properties can be found as a composition near $\text{Pb}(\text{Zr}_{0.57}\text{Ti}_{0.43})\text{O}_3$, which corresponds to the morphotropic rhombohedral-tetragonal phase transition [1]. In this work, effect of ZrO_2 nanoparticles on microstructure and dielectric loss at room temperature of PZT ceramics were investigated.

Reagent grade PbO , ZrO_2 , and TiO_2 powders were used as starting materials and mixed in ethanol medium for 24 h. The mixture were dried and sieved and calcined at 800 °C for 2 h. The calcined PZT powders and ZrO_2 nanoparticles (0.5, 1 and 2 vol.%) were ball milled with 1% PVA in ethanol for 12 h using the same method as mentioned earlier. Then, the slurry was dried, sieved and pressed into pellets. The sintering procedure was carried out at 1200 °C for 2 h. Phases formation and microstructure were examined by X-ray diffractometer (XRD) and Scanning electron microscope (SEM). Average grain size was measurement by linear intercept method. Dielectric constant (ϵ_r) and dielectric loss were measured using by a LCR meter at room temperature.

X-ray diffraction patterns of sintered PZT+ (0.2) vol.% ZrO_2 nanoparticles ceramics are illustrated in Figure 1. All XRD patterns display a rhombohedral-tetragonal phase structure. These patterns could be matched with JCPDS file number 33-0784 [4]. Figures 2(a)-(d) show SEM micrograph of PZT+ (0.2) vol.% ZrO_2 nanoparticles ceramics sintered at 1200 °C. PZT non-additive ceramic showed large grains with the average grain size of 2.8 μm . It was clear that the addition of ZrO_2 nanoparticles could significantly reduce the average grain size within the range of 1.3-1.7 μm . The dielectric constant and dielectric loss versus volume fraction of ZrO_2 nanoparticles sintered at 1200 °C were shown in figure 3. It was found that, the dielectric constant of PZT+ 0.5 vol.% ZrO_2 nanoparticles were decreased by 4.7% and dielectric loss of PZT+ 0.5 vol.% ZrO_2 nanoparticles were decreased by 40% compared with PZT non additive ceramics.

Acknowledgements

The authors would like to thank the Thailand Research Fund (TRF), Commission on Higher Education (CHE), National Research Council of Thailand (NRCT), Faculty of Science Naresuan University and Materials Science Research Laboratory (MSRL), Department of Physics and Materials Science, Chiang Mai University for financial support during this project.

References

1. B. Jaffe, W.R. Cook and H. Jaffe, *Piezoelectric Ceramics*, Academic Press, New York, 1971.
2. J. Ryu, J-J. Choi and H-I. Kim, Effect of Heating Rate on the Sintering Behavior and the Piezoelectric Properties of Lead Zirconate Titanate Ceramics, *J. Am. Ceram. Soc.*, 84 [4], 902-904 (2001).
3. Z. Zhang and R. Raj, "Influence of Grain Size on Ferroelastic Tonghearing and Piezoelectric Behavior of Lead Zirconate Titanate," *J. Am. Ceram. Soc.*, 78 [12], 3363-3368 (1995).
4. Powder Diffraction File, Card No.33-0784, Joint Committee on Powder Diffraction Standards (JCPDS PDF-4, International Centre for Diffraction Data (ICDD), (2000)

Proceedings of the 28th MST Annual Conference, 5-7 January 2011, Chiang Rai, Thailand

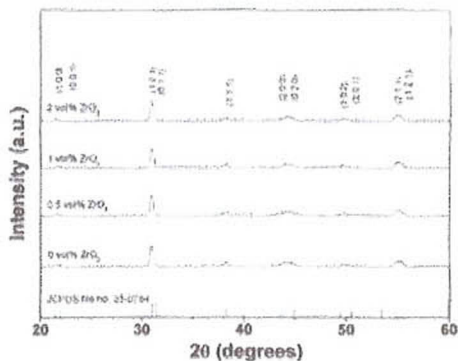


Figure 1 XRD pattern of PZT + (0-2) vol.% ZrO₂ nanoparticles ceramics sintered at 1200 °C

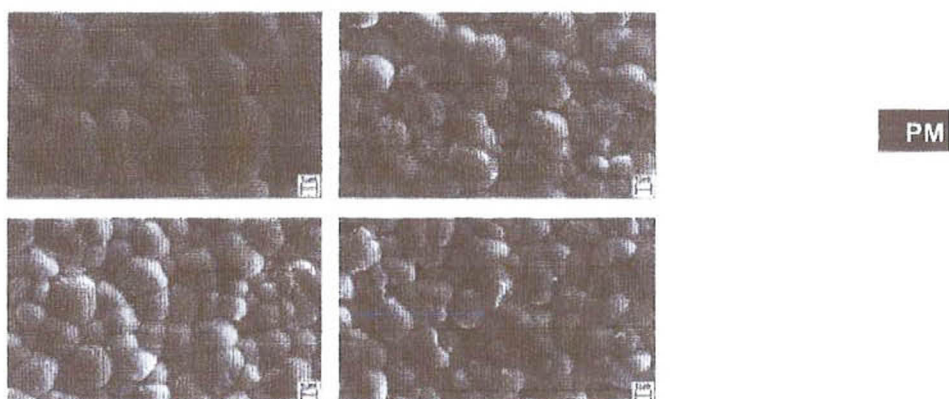


Figure 2 SEM photographs of surface of PZT + (0-2) vol.% ZrO₂ nanoparticles ceramics sintered at 1200 °C:
(a) 0, (b) 0.5, (c) 1 and (d) 2 vol.% ZrO₂ nanoparticles ceramics.

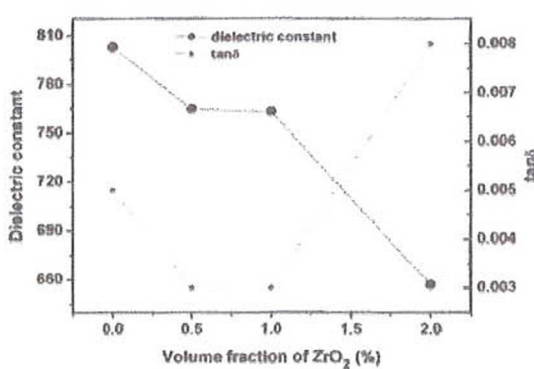
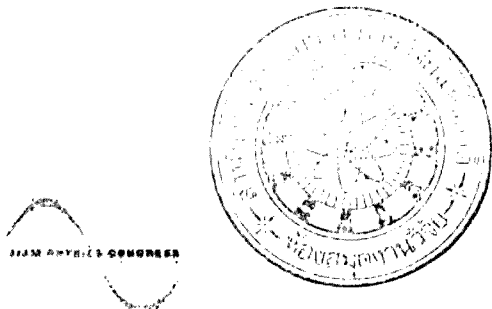


Figure 3 Dielectric constant and dielectric loss (tanδ) of PZT + (0-2) vol.% ZrO₂ nanoparticles ceramics sintered at 1200 °C measured at 1 kHz room temperature.



Mechanical Property of PZT/MgO Nanocomposites

C. Puchmark¹ and G. Rujijanagul^{2*}

¹*Department of Physics, Faculty of Science, Naresuan University,
Phitsanulok, 65000, Thailand*

²*Department of Physics and Materials Science, Faculty of Science, Chiang Mai
University, Chiang Mai, 50200, Thailand*

*Corresponding author. E-mail: rujijanagul@yahoo.com

Abstract

In the present study, PZT/MgO nanocomposites were prepared by the conventional mixed oxide method. The starting powders of PbO, ZrO₂ and TiO₂ were mixed in ethanol using zirconia balls as the grinding media. After drying, the powders were calcined at 800°C for 2 hours with a heating rate of 5°C/min. The calcined PZT powders were mixed with MgO nanoparticles (50 nm average particle size) and 1% PVA binder, and ball milled in ethanol for 12 hours using the same method as mentioned earlier. The slurry was then dried and sieved to a fine powder. The mixed powders were uniaxially pressed into pellets at a pressure of 40 MPa. The pellets were sintered at 1200 °C for 2 hours with a heating rate of 5 °C/min. The microstructures of the sintered samples were examined using scanning electron microscopy (SEM). The mechanical property of the monolithic PZT and PZT/MgO nanocomposites were studied using a Vickers microhardness tester. Indentations were applied on the polished surfaces with loads in the range of 0.3 kg, and an indentation period of 15 s. It was found that, monolithic PZT ceramic showed large grains with the mean grain size of 3 μm. It was clear that the addition of MgO nanoparticles could significantly reduce the mean grain size within the range of 1-1.4 μm. The PZT/MgO nanocomposites displayed ~20% higher hardness than the monolithic PZT. The maximum value of hardness of 4.5 GPa was found for the samples containing 2 vol.% MgO.

Keywords: Mechanical property, Monolithic, PZT/MgO nanocomposites

